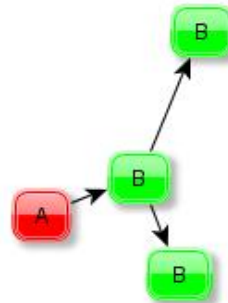
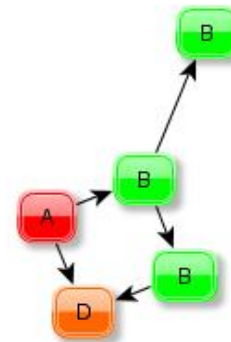
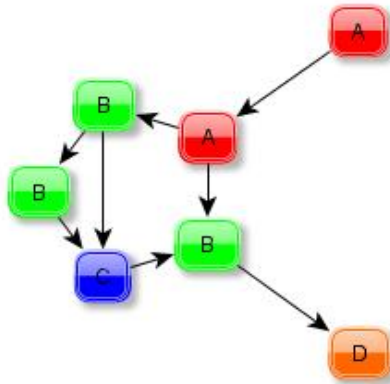


Graph Mining



TECHNISCHE
UNIVERSITÄT
DARMSTADT

Discovering Frequent Subgraphs
Discovering Frequent Geometric Subgraphs
Angela Eigenstetter und Christian Wirth



FSG und GFSG Allgemein

- Apriori Ansatz
 - Candidate Generation, Frequency Counting
 - Über eine Menge von Graphen
 - „Support“ Grenze: min. Anzahl von Graphen die das Pattern beinhalten

- Isomorphie Test
 - über kanonische Labels (FSG)
 - Geometrische Transformationen (GFSG)

- Allgemeiner Ansatz
- Chemische Verbindungen
 - Knoten = Atom
 - Kante = Verbindung
 - Kantenlabel = Verbindungstyp
 - Häufige Subgraphen dienen der Klassifizierung
- Andere Anwendungen möglich
- Athlon MP 1800+ (1,53Ghz), 2Gb Ram

Frequent Subgraph Discovery Algorithm

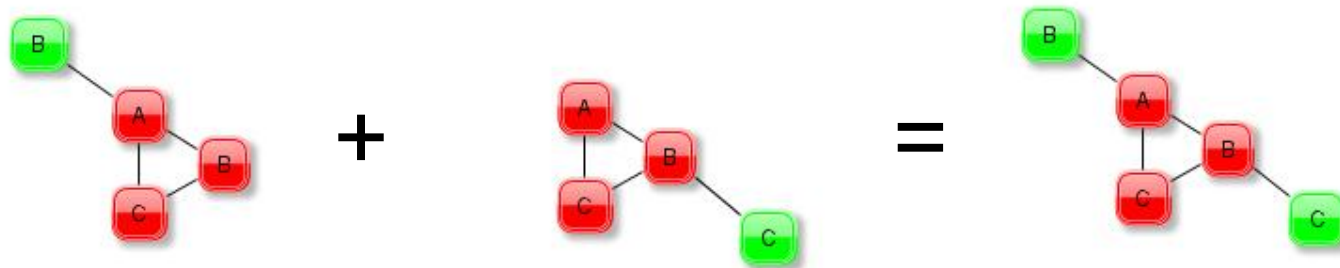
Übersicht

- Allgemeine Informationen
- Candidate Generation
- Frequency Counting
- Ergebnisse

- Generalisiert
- (3D-) Strukturinformationen als Kantenlabel
- Datenstrukturbasierte Verbesserungen

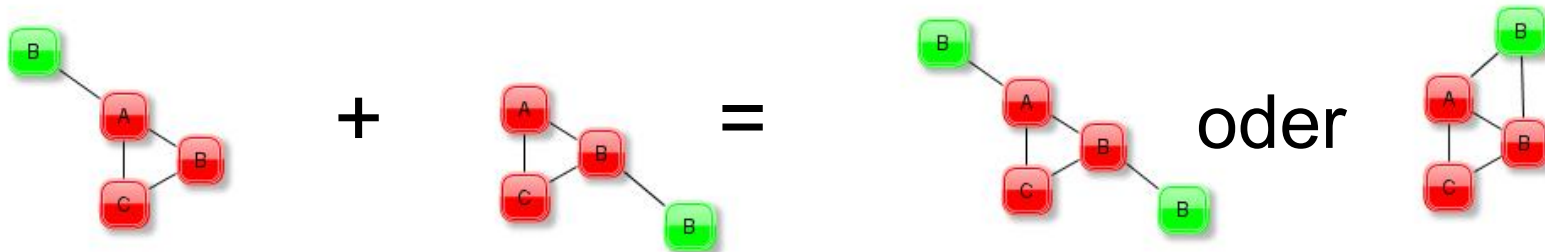
Candidate Generation I

- Zusammenfassen zweier k -Subgraphen
 - Jede mögliche Kombination
 - Auch zwei gleiche Subgraphen
- Gemeinsamer $k-1$ Kern
 - Isomorph
 - Primärer Subgraph
- Erzeugt $k+1$ Subgraph

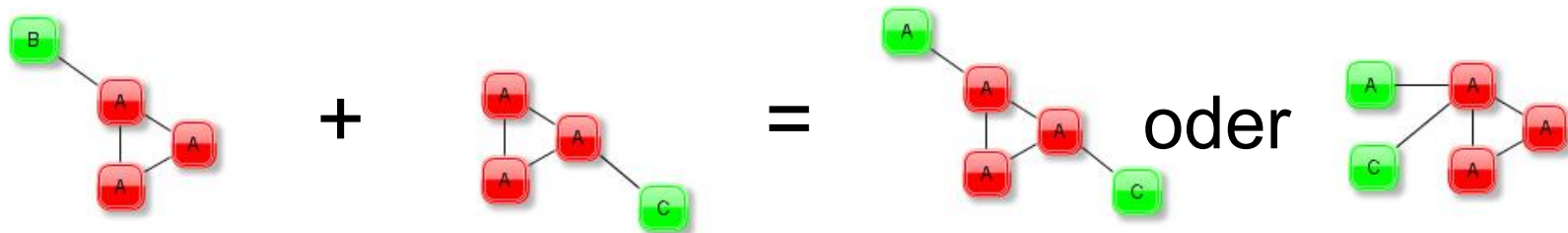


Candidate Generation II

- Muss nicht eindeutig sein
 - Gleiches Label



- Automorphismus

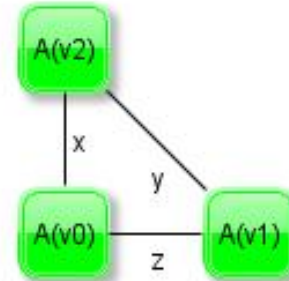


Frequency Counting

- Transaction Identifier List
 - Liste je Pattern
 - Beinhaltet alle Graphen die dieses Pattern enthalten
- Erstellen der $k+1$ Liste
 - Berechnen der Überschneidungen
 - Liste aller Graphen die in beiden Listen vorkommen
 - Länge $<$ Grenzwert \Rightarrow Prune
 - Berechnen der Isomorphie
 - Canonical Labeling für alle Elemente
 - Neue TID List
 - Länge $<$ Grenzwert \Rightarrow Prune

Canonical Labeling I

- Allgemein
 - Nutzung der Knoten Invarianten
 - Grad
 - Label
 - Nachbarschaft



| | | v0 | v1 | v2 |
|----|---|----|----|----|
| | A | A | A | A |
| v0 | A | | z | x |
| v1 | A | z | | y |
| v2 | A | x | y | |

Label: AAA zxy

- Erstellung
 - Kanonisches Label
 - Oberes Dreieck der Adjazenzmatrix
 - Labelreihe + Matrixspalten
 - Maximierung des Labels durch Permutation

| | | v1 | v0 | v2 |
|----|---|----|----|----|
| | A | A | A | A |
| v1 | A | | z | y |
| v0 | A | z | | x |
| v2 | A | y | x | |

Maximiertes Label: AAA zyx

Canonical Labeling II

- Problem: Berechnung aller Permutationen
 - $O(|V|!)$
 - Bereits bei kleinen Graphen problematisch

- Lösung: Partitionierung
 - Äquivalenzklassen
 - Knoten Invarianten

- Erstellung
 - Iterativ
 - Erst Grad & Label
 - Dann Nachbarschaft

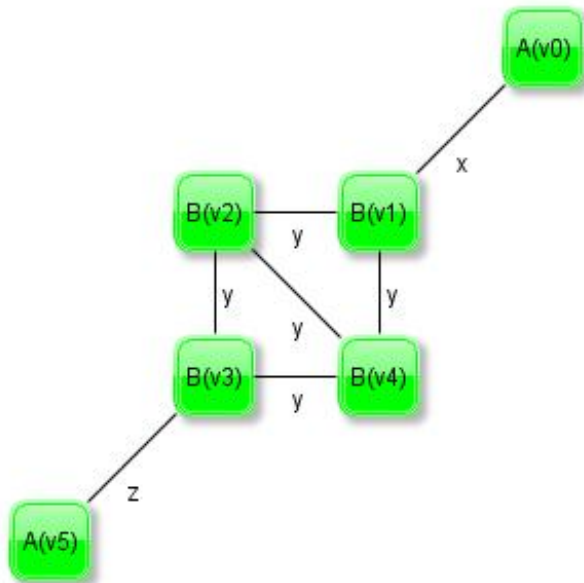
Canonical Labeling - Algorithmus

- 1. Partitionen nach Grad und Label
- 2. Repartitionierung nach Nachbarschaftsliste
- 3. Sortieren der Partitionen
- 4. Maximierung der Labels je Partition
- 5. Erstellen des Labels

Canonical Labeling – Beispiel I

- Erstellen der Partitionen
 - Eine Partition je Grad und Label

- 1. *Partitionierung*
- 2. Repartitionierung
- 3. Sortieren
- 4. Maximierung des Labels
- 5. Erstellen des Labels

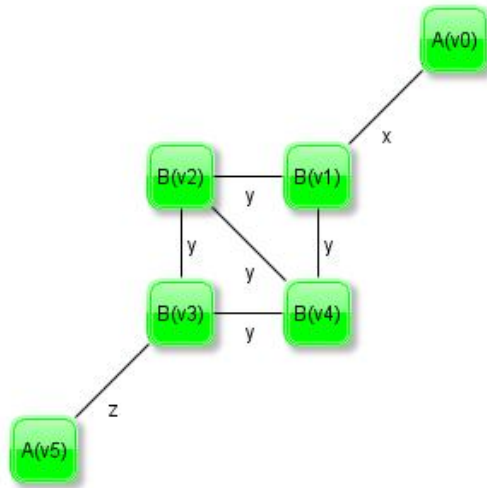


Partitionen:

- p₀ : Label = B und Grad = 3
 - v₁, v₂, v₃, v₄
- p₁ : Label = A und Grad = 1
 - v₀, v₆

Canonical Labeling – Beispiel II

- Erstellen der Nachbarschaftslisten
 - Partitionsnummer
 - Edglabel



Partitionen:

- p0 : Label = B und Grad = 3
 - v1, v2, v3, v4
- p1 : Label = A und Grad = 1
 - v0, v6

- 1. Partitionierung
- 2. **Repartitionierung**
- 3. Sortierung
- 4. Maximierung des Labels
- 5. Erstellen des Labels

Nachbarschaften:

- p0
 - v1 : (p0,y),(p0,y),(p1,x)
 - v2 : (p0,y),(p0,y),(p0,y)
 - v3 : (p0,y),(p0,y),(p1,z)
 - v4 : (p0,y),(p0,y),(p0,y)
- p1
 - v0 : (p0,x)
 - v5 : (p0,z)



Canonical Labeling – Beispiel III

- Repartitionierung
 - Erstellen neuer Partitionen nach Nachbarschaft
 - Kann erneutes Repartitionieren verursachen

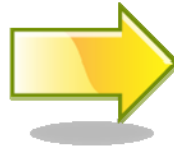
- 1. Partitionierung
- 2. **Repartitionierung**
- 3. Sortieren
- 4. Maximierung des Labels
- 5. Erstellen des Labels

Partitionen:

- p0 : Label = B und Grad = 3
 - v1, v2, v3, v4
- p1 : Label = A und Grad = 1
 - v0, v6

Nachbarschaften:

- p0
 - v1 : (p0,y),(p0,y),(p1,x)
 - v2 : (p0,y),(p0,y),(p0,y)
 - v3 : (p0,y),(p0,y),(p1,z)
 - v4 : (p0,y),(p0,y),(p0,y)
- p1
 - v0 : (p0,x)
 - v5 : (p0,z)



Partitionen:

- p0 : Label = B, Grad = 3 und
Nachbarschaft = (p0,y),(p0,y),(p0,y)
 - v2, v4
- p1 : Label = B, Grad = 3 und
Nachbarschaft = (p0,y),(p0,y),(p1,x)
 - v1
- p2 : Label = B, Grad = 3 und
Nachbarschaft = (p0,y),(p0,y),(p1,z)
 - v3
- p3 : Label = A und Grad = 1 und
Nachbarschaft = (p0,x)
 - v0
- p4 : Label = A und Grad = 1 und
Nachbarschaft = (p0,z)

Canonical Labeling – Beispiel IV

▪ Sortierung

- Isomorphe Graphen haben gleiche Partitionen
- Reinforme egal solange Eindeutig
- Sollte schnelles Pruning ermöglichen
 - Große Variationen am Anfang
 - Sortieren nach Grad

- 1. Partitionierung
- 2. Repartitionierung
- 3. *Sortieren*
- 4. Maximierung des Labels
- 5. Erstellen des Labels

Partitionen:

- p0 : Label = B, Grad = 3 und
Nachbarschaft = (p0,y),(p0,y),(p0,y)
- p1 : Label = B, Grad = 3 und
Nachbarschaft = (p0,y),(p0,y),(p1,x)
- p2 : Label = B, Grad = 3 und
Nachbarschaft = (p0,y),(p0,y),(p1,z)
- p3 : Label = A und Grad = 1 und
Nachbarschaft = (p0,x)
- p4 : Label = A und Grad = 1 und
Nachbarschaft = (p0,z)



$p_2 > p_0 > p_1 > p_4 > p_3$

Canonical Labeling – Beispiel V

- Maximierung des Labels
 - Partitionsreihenfolge definiert
 - Reihenfolge innerhalb der Partition
 - Maximierung
 - Vertauschung

- 1. Partitionierung
- 2. Repartitionierung
- 3. Sortieren
- 4. *Maximierung des Labels*
- 5. Erstellen des Labels

| | | v3 | v2 | v4 | v1 | v5 | v0 |
|----|---|----|----|----|----|----|----|
| | | B | B | B | B | A | A |
| v3 | B | | y | y | | z | |
| v2 | B | y | | y | y | | |
| v4 | B | y | y | | y | | |
| v1 | B | | y | y | | | x |
| v5 | A | z | | | | | |
| v0 | A | | | | x | | |
| | | p2 | p0 | | p1 | p4 | p3 |



P0 : mögliche Label

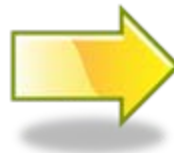
- yyy
- keine Permutationen möglich

Canonical Labeling – Beispiel VI

- Erstellen des Labels
 - Reihe der Labels
 - Spaltenkonkatenation

- 1. Partitionierung
- 2. Repartitionierung
- 3. Sortieren
- 4. Maximierung des Labels
- 5. *Erstellen des Labels*

| | | v3 | v2 | v4 | v1 | v5 | v0 |
|----|---|----|----|----|----|----|----|
| | | B | B | B | B | A | A |
| v3 | B | | y | y | | z | |
| v2 | B | y | | y | y | | |
| v4 | B | y | y | | y | | |
| v1 | B | | y | y | | | x |
| v5 | A | z | | | | | |
| v0 | A | | | | x | | |
| | | p2 | p0 | | p1 | p4 | p3 |



Label:
BBBAA yyy0yyz000000x0

Zusammenfassung

- Apriori
 - Generieren der Kandidaten
 - Primäre Subgraphen
 - Mehrere Kandidaten
 - Häufigkeit testen
 - Transaction Identifier Lists
 - Isomorphie über Canonical Labels
 - Canonical Labels
 - Partitionen nach Vertex Invarianten
 - Maximieren des Labels

- Vertex Stabilisation
 - Große Partitionen haben $O(k!)$ Permutationen
 - Kann verkleinert werden
 - Zufälliges Vertex mit neuer Partition
 - Erzeugt $\sim (k/2)$ neue Partitionen
 - Muss für alle k Möglichkeiten berechnet werden
 - $O(k(k/2)!) < O(k!)$
- Datenbank Unterteilung
 - Unterteilen der Graphmenge
 - Berechnen der Häufigkeit je Teil
 - Σ Häufigkeiten ergibt Obergrenze => Pruning
 - Speicherersparnis

- Keine Vergleiche mit anderen Algorithmen
- Evaluation der Eigenschaften
 - Auf natürlichem Datenset
 - Verhältnis Graphen/Laufzeit
 - Verhältnis Support/Laufzeit
 - Speicherbedarf/Datenbank Unterteilungen
 - Auf synthetischem Datenset
 - Verhältnis Anzahl Vertexlabel/Laufzeit
 - Verhältnis Patterngröße/Laufzeit
 - Verhältnis Graphgröße/Laufzeit
- System: Athlon MP 1800+ (1,53Ghz), 2Gb Ram

Ergebnisse I

- Natürliches Datenset
 - Predictive Toxicology Evaluation (PTE) Challenge
 - Developmental Therapeutics Program (DTP)
 - Beides Molekularstrukturen

| Support threshold [%] | Runtime t [sec], Size of Largest Frequent Pattern k^* , and Number of Frequent Patterns $ \mathcal{F} $ | | | | | | | | | | | |
|-----------------------------|---|-------|-----------------|------------------------------|-------|-----------------|-------------------------------|-------|-----------------|-------------------------------|-------|-----------------|
| | PTE $ \mathcal{D} = 340$ | | | DTP $ \mathcal{D} = 50,000$ | | | DTP $ \mathcal{D} = 100,000$ | | | DTP $ \mathcal{D} = 200,000$ | | |
| | t [sec] | k^* | $ \mathcal{F} $ | t [sec] | k^* | $ \mathcal{F} $ | t [sec] | k^* | $ \mathcal{F} $ | t [sec] | k^* | $ \mathcal{F} $ |
| 10.0 | 3 | 11 | 844 | 74 | 9 | 351 | 156 | 9 | 360 | 337 | 9 | 373 |
| 9.0 | 3 | 11 | 977 | 80 | 9 | 400 | 169 | 10 | 420 | 366 | 10 | 442 |
| 8.0 | 4 | 11 | 1323 | 87 | 11 | 473 | 184 | 11 | 490 | 401 | 11 | 512 |
| 7.0 | 4 | 12 | 1770 | 94 | 11 | 562 | 200 | 11 | 591 | 437 | 11 | 635 |
| 6.0 | 6 | 13 | 2326 | 109 | 12 | 782 | 230 | 12 | 813 | 503 | 12 | 860 |
| 5.0 | 9 | 14 | 3608 | 122 | 12 | 1017 | 259 | 12 | 1068 | 570 | 12 | 1140 |
| 4.0 | 16 | 15 | 5935 | 146 | 13 | 1523 | 316 | 13 | 1676 | 705 | 13 | 1855 |
| 3.0 | 60 | 22 | 22758 | 186 | 14 | 2705 | 398 | 14 | 2810 | 894 | 14 | 3004 |
| 2.0 | 459 | 25 | 136927 | 263 | 14 | 5295 | 571 | 14 | 5633 | 1343 | 15 | 6240 |
| 1.0 | — | — | — | 658 | 16 | 19373 | 1458 | 16 | 20939 | 3776 | 17 | 24683 |

- Ergebnis
 - Verhältnis Graphen/Laufzeit: Sehr gut, fast linear
 - Verhältnis Support/Laufzeit: Starke Abhängigkeit, Datenabhängig

Ergebnisse II

- Datenbank Unterteilungen zur Speicherreduktion

| \mathcal{D} | Runtime [sec] | | | | | | | | | |
|---------------|----------------------|------|------|------|------|------|------|------|-------|-------|
| | Number of Partitions | | | | | | | | | |
| | 1 | 2 | 3 | 4 | 5 | 10 | 20 | 30 | 40 | 50 |
| 100,000 | 1432 | 1878 | 2032 | 2189 | 2356 | 2924 | 3899 | 4842 | 6122 | 7459 |
| 200,000 | 3698 | 4494 | 5095 | 5064 | 5538 | 6418 | 7856 | 9516 | 11165 | 12670 |

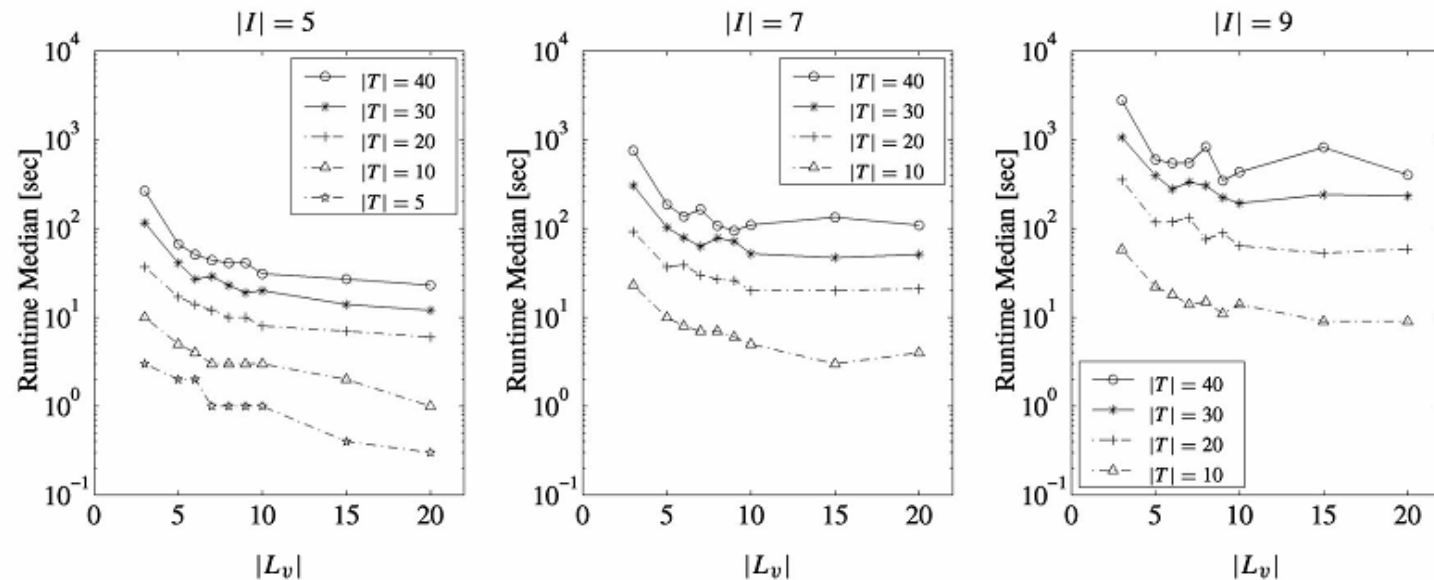
| \mathcal{D} | Maximum amount of memory for storing TID lists [Mbytes] | | | | | | | | | |
|---------------|---|------|------|------|------|------|-----|-----|-----|-----|
| | Number of Partitions | | | | | | | | | |
| | 1 | 2 | 3 | 4 | 5 | 10 | 20 | 30 | 40 | 50 |
| 100,000 | 53.8 | 27.0 | 18.1 | 13.6 | 11.0 | 5.6 | 2.9 | 2.0 | 1.5 | 1.2 |
| 200,000 | 118 | 59.1 | 39.5 | 29.6 | 23.9 | 12.1 | 6.2 | 4.2 | 3.2 | 2.6 |

- Ergebnis
 - Starke Reduktion bis ~ 20 Unterteilungen
 - Geringer Anstieg der Laufzeit

Ergebnisse III

- Synthetisches Datenset
 - Diverse Kontrollparameter
 - Anzahl Graphen $|D|$
 - Durchschnittliche Anzahl Kanten je Graph $|T|$
 - Durchschnittliche Anzahl Kanten je FSG $|I|$
 - Durchschnittliche Anzahl FSG je Graph $|S|$
 - Anzahl der unterschiedlichen Kantenlabels $|L_E|$
 - Anzahl der unterschiedlichen Knotenlabels $|L_V|$

Ergebnisse IV



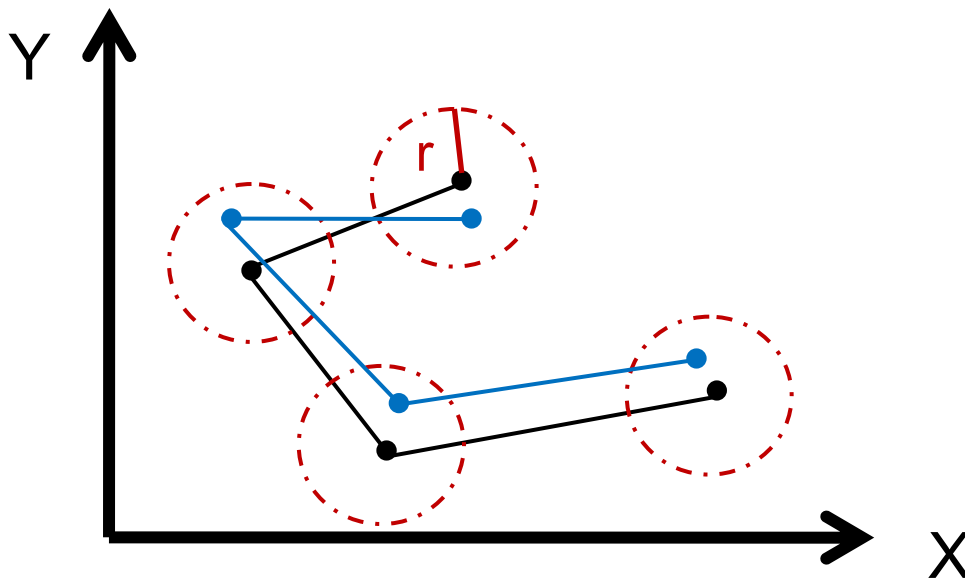
■ Ergebnis

- Die Laufzeit sinkt mit $|L_v|$, weniger Automorphismen, weniger Isomorphismen
- Die Laufzeit steigt mit $|I|$, komplexere Patterns
- Die Laufzeit steigt mit $|T|$, mehr Pattern je Graph möglich

Frequent Geometric Subgraph Discovery Algorithm

- Wichtige Begriffe
- Isomorphismus in geometrischen Graphen
- Parameter und High Level Struktur des gFSG Algorithmus
 - Candidate Generation
 - Frequency Counting
 - Iterative Shape Adjustment
- Experimentelle Evaluation

- Geometric Graph
 - Ungerichteter Graph
 - Mit Labeln, nicht eindeutig
 - Jeder Knoten hat eine zwei bzw. dreidimensionale Koordinaten
- Coordinate Matching Tolerance r



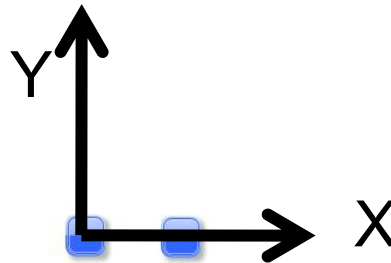
Begriffe II

- **r tolerant frequent Subgraph**

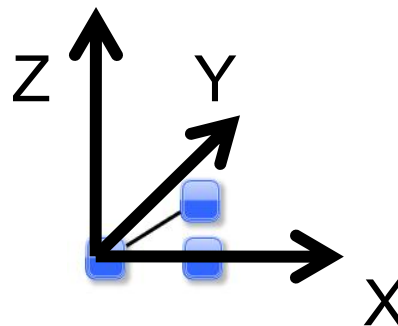
- D Menge von Graphen
- $0 < \sigma \leq 1.0$
- Ein Subgraph ist frequent, wenn er mindestens $\sigma|D|$ % aller Graphen gefunden wird (Minimum Support)

- **Geometric Configuration**

- Koordinatensystems ergibt sich aus Kanten des Graphen
- 2D : Kante des Graphen entspricht X-Achse



- 3D : zwei Kanten (nicht parallel) mit einem gemeinsamen Knoten als XY-Ebene



=> Ermöglicht **translations- und rotations-invariante Isomorphismen**

Geometric Configuration Example



TECHNISCHE
UNIVERSITÄT
DARMSTADT

- Skalierung des Graphen
eine Kante besitzt Länge eins
- ⇒ Erlaubt uns **skalen-invariante Isomorphismen** zu finden

Geometric Graph Isomorphism

- Finde geometrische Transformation zwischen g_1 und g_2
 - Rotation, Skalierung und Translation
 - Nur zwischen den Knoten
- Überprüfe die Topologie (und Label) jeder Transformation
 - Topologie: Struktur des Graphen

Geometric Graph Isomorphism

1. g_1 und g_2 haben unterschiedliche Anzahl Knoten oder Kanten
-> false
 2. Zufällige geometrische Konfiguration von g_2
 1. Für jede geometrische Konfiguration von g_1
 2. Für jeden Knoten v in g_1
 1. Finde den nächsten Knoten u in g_2 mit gleichem Label
 2. Distanz zwischen den Knoten größer r -> break
 3. u wird dem Knoten v zugeordnet
 3. Bijektion gefunden
 4. Ist Bijektion eine zulässiger topologischer Isomorphismus zwischen g_1 und g_2
-> return true
3. Return false

Parameter von gFSG

- Eingabe
 - Graphenmenge D
 - Support threshold σ
 - Matching Tolerance r
 - Shape Adjustment Type $type$
 - Anzahl der Shape Adjustment Iterationen N
- Ausgabe
 - Alle Subgraphen die den Minimum Support erfüllen
 - Frequent Subgraphs (FSG) genannt

GFSG High Level Structure

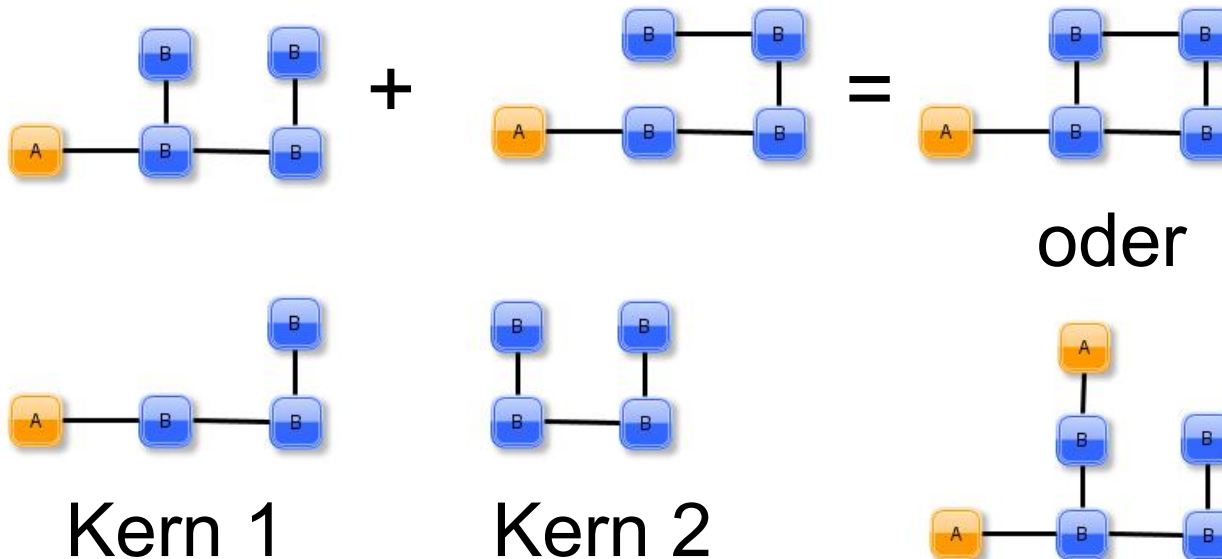
1. Spezifizieren aller FGS der Größe 1, 2 und 3 in D
2. Solange es 2 FGS der Größe $k-1$ gibt
 1. Generiere alle Kandidaten g^k der Größe k (Candidate Generation)
 2. Für jeden Kandidaten der Größe k
 1. Berechne die Menge S der Graphen $t \in D$ in denen der Kandidat vorkommt (Frequency Counting)
 2. Kommt der Kandidat in keinem der Graphen vor fahre mit nächstem Kandidaten fort
 3. Gegebenenfalls wird die geometrische Form des Kandidaten angepasst (Iterative Shape Adjustment)
3. Verwirft Subgraphen g^k die den Minimum Support nicht erfüllen

GFSG High Level Structure

1. Spezifizieren aller FGS der Größe 1, 2 und 3 in D
2. Solange es 2 FGS der Größe $k-1$ gibt
 - 1. Generiere alle Kandidaten g^k der Größe k (Candidate Generation)**
 2. Für jeden Kandidaten der Größe k
 1. Berechne die Menge S der Graphen $t \in D$ in denen der Kandidat vorkommt (Frequency Counting)
 2. Kommt der Kandidat in keinem der Graphen vor fahre mit nächstem Kandidaten fort
 3. Gegebenenfalls wird die geometrische Form des Kandidaten angepasst (Iterative Shape Adjustment)
3. Verwirft Subgraphen g^k die den Minimum Support nicht erfüllen

Candidate Generation

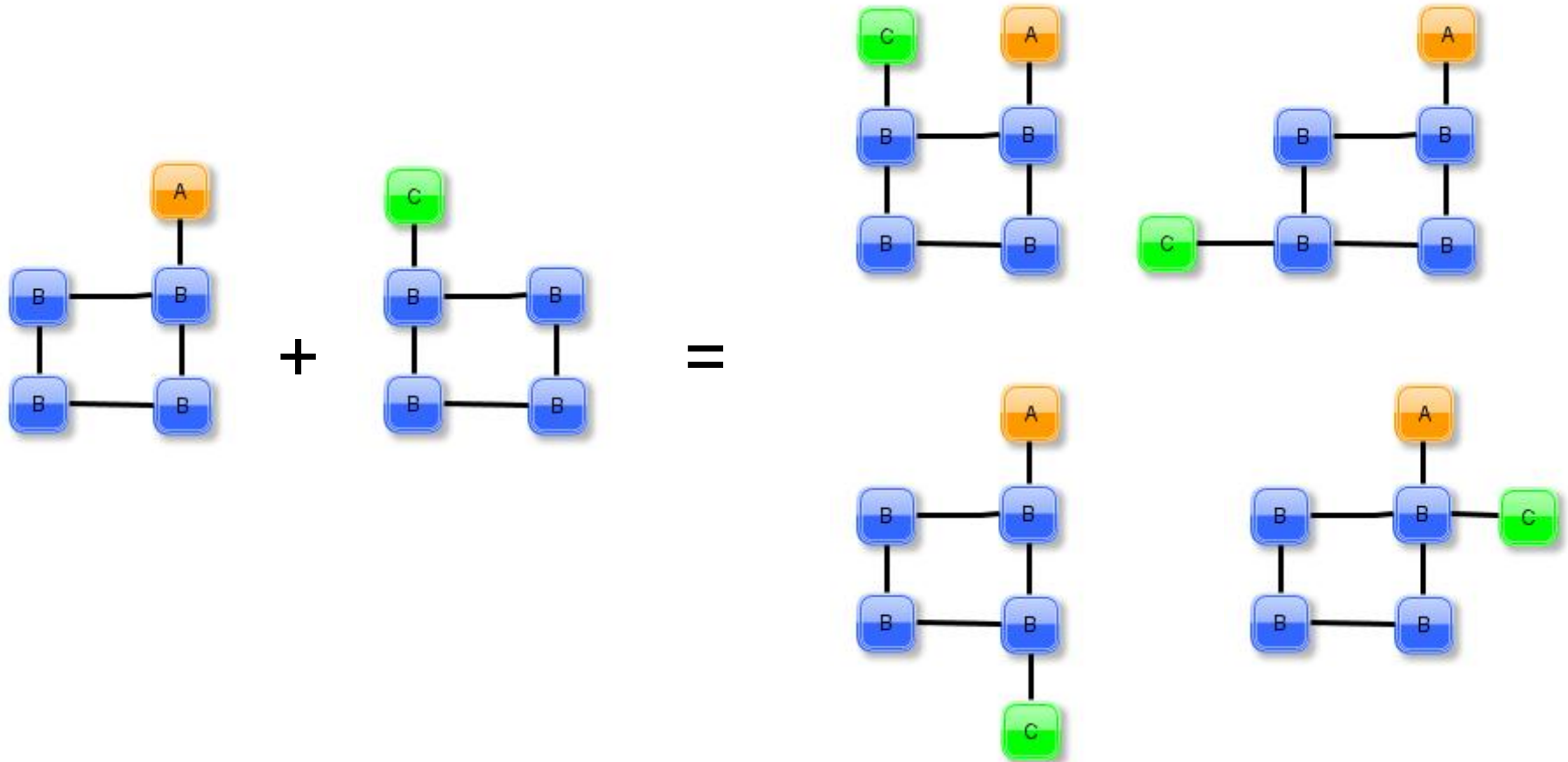
- Zusammenfügen FGS der Größe k zu einem der Größe $k+1$
 - müssen gleichen $k-1$ Subgraph (Kern) enthalten
 - nicht unbedingt eindeutig
 - Kern hat mehrere Automorphismen
 - FSG hat mehrere geometrische Kerne



Candidate Generation Algo

1. Für jedes Paar g_i, g_j von FSG der Größe k
 1. Für jede Kante e des 1. FSG
 1. Entferne Kante e aus FSG \rightarrow $k-1$ Subgraph
 2. Enthält der 2. FSG g_j den $k-1$ Subgraph \rightarrow gleicher Kern
 1. Zusammenfügen der beiden FSG g_i und g_j zu einem neuen Subgraphen der Größe $k+1$
 2. $k+1$ Subgraph wurde bereits generiert \rightarrow continue
 3. Subgraph ist neuer Kandidat Größe $k+1$

Join Beispiel



GFSG High Level Structure

1. Spezifizieren aller FGS der Größe 1, 2 und 3 in D
2. Solange es 2 FGS der Größe $k-1$ gibt
 1. Generiere alle Kandidaten g^k der Größe k
 2. Für jeden Kandidaten der Größe k
 1. Berechne die Menge S der Graphen $t \in D$ in denen der Kandidat vorkommt
 2. Kommt der Kandidat in keinem der Graphen vor fahre mit nächstem Kandidaten fort
 3. Gegebenenfalls wird die geometrische Form des Kandidaten angepasst
3. Verwirft Subgraphen g^k die den Minimum Support nicht erfüllen

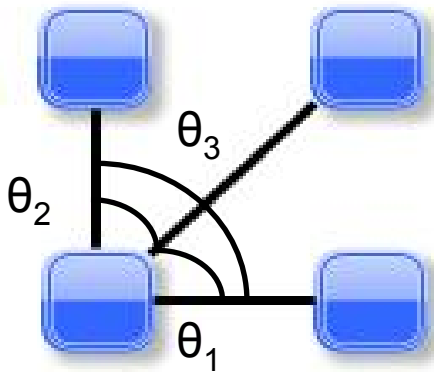
GFSG High Level Structure

1. Spezifizieren aller FGS der Größe 1, 2 und 3 in D
2. Solange es 2 FGS der Größe $k-1$ gibt
 1. Generiere alle Kandidaten g^k der Größe k
 2. Für jeden Kandidaten der Größe k
 1. **Berechne die Menge S der Graphen $t \in D$ in denen der Kandidat vorkommt**
 2. Kommt der Kandidat in keinem der Graphen vor fahre mit nächstem Kandidaten fort
 3. Gegebenenfalls wird die geometrische Form des Kandidaten angepasst
3. Verwirft Subgraphen g^k die den Minimum Support nicht erfüllen

Count Frequency (EAL)

▪ Edge Angle List (eal)

- Multimenge von Winkeln zwischen jedem Kantenpaar mit gemeinsamem Knoten



$$\text{eal}(g) = \{\theta_1, \theta_2, \theta_3\}$$

- Winkel sind invariant gegenüber geometrischen Transformationen
- wenn g isomorph zu einem Subgraphen aus $t \in D$ dann $\text{eal}(g)$ Teilmenge $\text{eal}(t)$

Count Frequency (TID List)

- TID List (Transaction ID List)

- Liste von Graphen (Transactions) in denen ein FSG enthalten
- Berechnung der Häufigkeit eines Kandidaten der Größe $k+1$:
 1. Berechne Schnittmenge der TIDs der beiden zugrunde liegenden FSG der Größe k
 2. Größe der Schnittmenge kleiner als Minimum Support
=> Subgraph der Größe $k+1$ verworfen
 3. Sonst
Berechne Häufigkeit mit Subgraph Isomorphismus auf den Graphen die sich in der Schnittmenge befinden

Count Frequency (Hybrid)

1. Finden der frequent edge angles
2. TID list für jeden frequent edge angle der Graphen die eine Instanz des Winkels enthalten

$$tid(\theta) = \{t_1, t_2, \dots, t_n\}$$

3. Kandidat g hat eine $eal(g) = \{\theta_1, \theta_2, \dots, \theta_n\}$
4. Berechnung der Schnittmenge der TID Listen der verschiedenen edge angles in g

$$I = \text{Schnitt}_i(tid(\theta_i))$$

$$\theta_i \in eal(g)$$

=> Wenn g den Minimum Support erfüllt ist $|I| \geq \sigma |D|$

Frequency Counting

- Bewertung der drei Ansätze
 - **Edge Angle List**
 - Sehr langsam
 - **TID List**
 - Schnell verbraucht aber sehr viel Speicher
 - Speichere Listen von allen FSG der Größe k
 - **Hybrid**
 - 5 mal schneller als Edge Angle List
 - 2 mal langsamer als TID List
 - Verbraucht allerdings viel weniger Speicher

=> Hybrid wurde in allen Experimenten verwendet

GFSG High Level Structure

1. Spezifizieren aller FGS der Größe 1, 2 und 3 in D
2. Solange es 2 FGS der Größe $k-1$ gibt
 1. Generiere alle Kandidaten g^k der Größe k
 2. Für jeden Kandidaten der Größe k
 1. Berechne die Menge S der Graphen $t \in D$ in denen der Kandidat vorkommt
 2. Kommt der Kandidat in keinem der Graphen vor fahre mit nächstem Kandidaten fort
 3. Gegebenenfalls wird die geometrische Form des Kandidaten angepasst
3. Verwirft Subgraphen g^k die den Minimum Support nicht erfüllen

GFSG High Level Structure

1. Spezifizieren aller FGS der Größe 1, 2 und 3 in D
2. Solange es 2 FGS der Größe $k-1$ gibt
 1. Generiere alle Kandidaten g^k der Größe k
 2. Für jeden Kandidaten der Größe k
 1. Berechne die Menge S der Graphen $t \in D$ in denen der Kandidat vorkommt
 2. Kommt der Kandidat in keinem der Graphen vor fahre mit nächstem Kandidaten fort
 3. **Gegebenenfalls wird die geometrische Form des Kandidaten angepasst**
3. Verwirft Subgraphen g^k die den Minimum Support nicht erfüllen

Anpassung der geometrischen Form

- Geometrische Konfiguration eines Kandidaten nicht unbedingt optimal
 - **Problem:** Einige Vorkommen des Kandidaten können nicht gefunden werden
 - **Lösung:** Anpassung der Form des Kandidaten
- Führe Frequency Counting für jeden Kandidaten mehrmals durch
- In jeder Iteration :
 - Berechne Menge der vorkommenden isomorphen Subgraphen
 - Berechne Durchschnitt der Knotenkoordinaten
- Diese Koordinaten sind die neuen Koordinaten des Kandidaten (**Angepasste Form**)

Anpassung der geometrischen From

- Terminierung
 - **Simple Adjustment (SA)**
 - Terminiert nach N Iterationen (Benutzerspezifiziert)
 - **Supporting Transaction Monitoring (STM)**
 - Wie Simple Adjustment, aber ...
 - ...frühere Terminierung möglich, wenn die Menge der gefundenen Subgraphen sich in zwei aufeinanderfolgenden Iterationen nicht verändert
 - **Downward Closure Check (DWC)**
 - Wie Supporting Transaction Monitoring, aber...
 - ...wenn Veränderungen des Kandidaten zu groß werden kann es passieren, dass die $k-1$ Subgraphen des Kandidaten nicht mehr den Minimum Support erfüllen => Terminiert

Experimentelle Evaluierung

- Skalierbarkeit bezüglich der Datenbankgröße D
- Skalierbarkeit bezüglich der Graphengröße T
- Effektivität der Formanpassung
 - σ Minimum Support Threshold
 - t Laufzeit in Sekunden
 - l Größe des größten FSG
 - # f Gesamtzahl der gefundenen FSG

Skalierbarkeit bezüglich der Datenbankgröße

| σ % | Total Number of Transactions D | | | | | | | | | | | | | | |
|---------------|----------------------------------|-----|-------|-----------------|-----|-------|-----------------|-----|-------|-----------------|-----|-------|-----------------|-----|-------|
| | $D = 1000$ | | | $D = 2000$ | | | $D = 5000$ | | | $D = 10000$ | | | $D = 20000$ | | |
| | $t[\text{sec}]$ | l | $\#f$ | $t[\text{sec}]$ | l | $\#f$ | $t[\text{sec}]$ | l | $\#f$ | $t[\text{sec}]$ | l | $\#f$ | $t[\text{sec}]$ | l | $\#f$ |
| 5.0 | 8 | 6 | 119 | 14 | 6 | 113 | 34 | 6 | 114 | 75 | 5 | 117 | 179 | 6 | 111 |
| 4.5 | 9 | 6 | 137 | 20 | 6 | 138 | 45 | 6 | 139 | 83 | 5 | 132 | 209 | 6 | 126 |
| 4.0 | 10 | 6 | 168 | 22 | 6 | 157 | 52 | 6 | 160 | 96 | 6 | 151 | 244 | 6 | 154 |
| 3.5 | 12 | 6 | 206 | 30 | 6 | 209 | 57 | 6 | 184 | 110 | 6 | 185 | 281 | 6 | 182 |
| 3.0 | 14 | 7 | 236 | 35 | 6 | 246 | 73 | 7 | 236 | 126 | 6 | 217 | 321 | 6 | 224 |
| 2.5 | 20 | 7 | 314 | 55 | 7 | 329 | 85 | 7 | 287 | 150 | 6 | 259 | 357 | 7 | 268 |
| 2.0 | 26 | 7 | 415 | 72 | 7 | 430 | 124 | 7 | 404 | 205 | 7 | 352 | 522 | 7 | 359 |
| 1.5 | 48 | 7 | 687 | 107 | 7 | 613 | 218 | 8 | 630 | 410 | 7 | 552 | 842 | 7 | 526 |
| 1.0 | 123 | 8 | 1393 | 315 | 8 | 1395 | 460 | 9 | 1189 | 1107 | 8 | 1295 | 1974 | 8 | 1019 |
| 0.5 | 694 | 10 | 4960 | 1478 | 10 | 4623 | 2108 | 10 | 3593 | 4621 | 9 | 3869 | 9952 | 9 | 3354 |
| 0.25 | 2043 | 13 | 14235 | 5674 | 12 | 15232 | 8972 | 12 | 11103 | 17421 | 9 | 10929 | 41895 | 11 | 11177 |

Skalierbarkeit bezüglich der Graphengröße

| σ % | Average Transaction Size T | | | | | | | | | | | |
|---------------|------------------------------|-----|-------|-----------------|-----|-------|-----------------|-----|-------|-----------------|-----|-------|
| | $T = 14$ | | | $T = 19$ | | | $T = 23$ | | | $T = 28$ | | |
| | $t[\text{sec}]$ | l | $\#f$ | $t[\text{sec}]$ | l | $\#f$ | $t[\text{sec}]$ | l | $\#f$ | $t[\text{sec}]$ | l | $\#f$ |
| 5.0 | 15 | 6 | 74 | 21 | 6 | 93 | 37 | 6 | 116 | 92 | 6 | 201 |
| 4.5 | 16 | 6 | 86 | 26 | 6 | 112 | 46 | 6 | 142 | 102 | 6 | 236 |
| 4.0 | 17 | 6 | 110 | 29 | 6 | 130 | 54 | 6 | 166 | 115 | 7 | 277 |
| 3.5 | 19 | 7 | 127 | 34 | 6 | 162 | 64 | 6 | 205 | 128 | 7 | 309 |
| 3.0 | 22 | 7 | 154 | 41 | 6 | 196 | 73 | 6 | 249 | 175 | 7 | 408 |
| 2.5 | 27 | 7 | 195 | 59 | 6 | 247 | 96 | 7 | 302 | 331 | 7 | 658 |
| 2.0 | 36 | 7 | 264 | 81 | 6 | 325 | 142 | 7 | 420 | 543 | 8 | 993 |
| 1.5 | 53 | 7 | 386 | 138 | 6 | 502 | 291 | 7 | 729 | 1002 | 8 | 1599 |
| 1.0 | 92 | 9 | 680 | 284 | 8 | 927 | 612 | 9 | 1385 | 2530 | 10 | 3936 |
| 0.5 | 406 | 9 | 2072 | 1438 | 9 | 2859 | 3050 | 9 | 4620 | 9923 | 12 | 13178 |
| 0.25 | 1226 | 10 | 5358 | 4997 | 10 | 8949 | 10824 | 12 | 15232 | 29686 | 14 | 38788 |

Effektivität der Formanpassung



| Dataset | σ [%] | Adjustment | N | t [sec] | $\#f$ | |
|---------------------------|--------------|------------|------|-----------|-------|------|
| DTP 5,000 compounds | 2.0 | None | — | 124 | 404 | |
| | | | 2 | 155 | 541 | |
| | | | 5 | 209 | 562 | |
| | | SA | 10 | 248 | 558 | |
| | | | 2 | 138 | 543 | |
| | | | 5 | 187 | 542 | |
| | STM | 10 | 233 | 536 | | |
| | | 2 | 138 | 543 | | |
| | | 5 | 187 | 542 | | |
| | DWC | 10 | 248 | 557 | | |
| | | 1.0 | None | — | 1107 | 1295 |
| | | | | 2 | 1180 | 1637 |
| 5 | 1509 | | | 1638 | | |
| SA | 10 | | 1720 | 1678 | | |
| | 2 | | 1026 | 1618 | | |
| | 5 | | 1383 | 1666 | | |
| STM | 10 | 1676 | 1699 | | | |
| | 2 | 1123 | 1631 | | | |
| | 5 | 1461 | 1628 | | | |
| DWC | 10 | 1737 | 1683 | | | |

+ 34 %

+ 25 %

Danke für die Aufmerksamkeit

Fragen???